

А. Н. КРЕСТОВНИКОВ, В. Б. УФИМЦЕВ, О. В. ПЕЛЕВИН, В. В. ЕГОРКИН

ТЕРМОДИНАМИЧЕСКИЙ АНАЛИЗ ХИМИЧЕСКИХ  
ВЗАИМОДЕЙСТВИЙ В СИСТЕМАХ ПОЛУПРОВОДНИК — ПРИМЕСЬ  
(НА ПРИМЕРЕ СОЕДИНЕНИЙ ТИПА  $A^{III}B^V$ )

(Представлено академиком П. А. Ребиндером 10 III 1970)

При исследовании германия, кремния и некоторых полупроводниковых соединений типа  $A^{III}B^V$  было обнаружено (<sup>1-2</sup>), что некоторые их свойства при сильном легировании зависят от природы примесей. В частности, при исследовании соотношения между концентрациями электронов, определяемых из эффекта Холла, и атомов донорной примеси, которые находили химическим методом анализа, было показано, что, начиная с некоторого значения концентрации, не все атомы легирующей примеси проявляют донорные свойства.

На рис. 1 представлены результаты экспериментального исследования поведения примесей серы, селена и теллура в арсениде галлия (<sup>3</sup>) и анти-мониде индия (<sup>4</sup>). Как можно видеть из рис. 1, начиная с соответствующих концентраций, часть атомов примеси находится в электрически нейтральной форме. Такое поведение может явиться следствием многих причин: образованием комплексов ближнего порядка между атомами примеси и основного кристалла, осаждением легирующей примеси на различных структурных дефектах, образованием специфических примесных

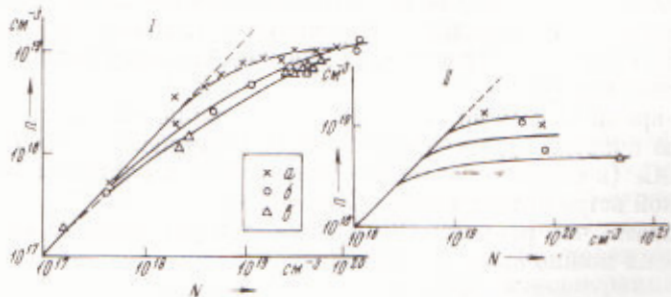


Рис. 1. Соотношение между концентрациями электронов и атомов в арсениде галлия (I) и в анти-мониде индия (II).  
— Te, б — Se, в — S

субструктур, присутствием включений второй фазы и т.д. Из всех перечисленных возможных причин наиболее вероятной представляется комплексообразование. Экспериментально комплексы типа  $Ga_2Se$ , в виде отдельной фазы были обнаружены при исследовании легированных селеном кристаллов GaAs (<sup>5</sup>).

Целью данной работы было рассмотрение с позиций химической термодинамики возможных реакций взаимодействия элементов VI группы периодической системы с соединениями  $A^{III}B^V$ .

Пусть соединение  $A^{III}B^V$  находится в термодинамическом равновесии с легирующей примесью (возможность всякого рода неравновесных состояний будет нами учтена при обсуждении совпадений теоретических

Таблица 1

Значение  $\Delta G_{298}^0$  для реакций взаимодействия соединений  $A^{III}B^V$  с серой, селеном и теллуром

Соединение	Продукт реакции	$\Delta G_{298}^0$ , ккал/моль	Продукт реакции	$\Delta G_{298}^0$ , ккал/моль	Продукт реакции	$\Delta G_{298}^0$ , ккал/моль
GaAs	Ga <sub>2</sub> S	-20,5	Ga <sub>2</sub> Se	-5,9	Ga <sub>2</sub> Te	-
	GaS	-28,8	GaSe	-20,8	GaTe	-8,7
	Ga <sub>2</sub> S <sub>3</sub>	-85,5	Ga <sub>2</sub> Se <sub>3</sub>	-59,9	Ga <sub>2</sub> Te <sub>3</sub>	-36,6
GaSb	Ga <sub>2</sub> S	-37,12	Ga <sub>2</sub> Se	-22,52	Ga <sub>2</sub> Te	-
	GaS	-37,11	GaSe	-29,41	GaTe	-17,01
	Ga <sub>2</sub> S <sub>3</sub>	-101,52	Ga <sub>2</sub> Se <sub>3</sub>	-76,52	Ga <sub>2</sub> Te <sub>3</sub>	-53,22
InAs	In <sub>2</sub> S	-	In <sub>2</sub> Se	-	In <sub>2</sub> Te	-
	InS	-27,9	InSe	-15,8	InTe	-10,6
	In <sub>2</sub> S <sub>3</sub>	-76,3	In <sub>2</sub> Se <sub>3</sub>	-53,3	In <sub>2</sub> Te <sub>3</sub>	-23,01
InSb	In <sub>2</sub> S	-	In <sub>2</sub> Se	-	In <sub>2</sub> Te	-
	InS	-33,86	InSe	-21,76	InTe	-16,56
	In <sub>2</sub> S <sub>3</sub>	-82,22	In <sub>2</sub> Se <sub>3</sub>	-65,32	In <sub>2</sub> Te <sub>3</sub>	-34,93

результатов с экспериментальными). При этом возможны следующие типы реакций:



где А — галлий, индий; В — сурьма, мышьяк; С — сера, селен, теллур.

Изобарно-изотермные потенциалы этих реакций, рассчитанные с помощью таблиц стандартных величин (8-8), представлены в табл. 1. Из данных табл. 1 можно видеть, что все реакции типа (1) — (3) сдвинуты вправо (изобарно-изотермные потенциалы этих реакций имеют отрицательные значения).

Таким образом, термодинамически возможно существование примеси в кристаллах  $A^{III}B^V$  в виде соединений  $A_2C$ ,  $AC$ ,  $A_2C_3$  или их комбинаций. Однако из табл. 1 следует, что изобарно-изотермные потенциалы реакций (1) и (2) значительно меньше, чем реакции (3), меньше и энергия, приходящаяся на один атом примеси С (S, Se, Te). Поэтому реакция (3) энергетически более выгодна.

В то же время возможно, что в области большого избытка компонента AB в первую очередь будет образовываться соединение типа AC, а потом уже типа  $A_2C_3$  (в случае бесконечно разбавленных растворов вероятность одновременной встречи трех атомов С мала).

Если считать, что реакция (3) протекает в растворе, то ее константу ( $K$ ) равновесия можно выразить уравнением:

$$K = a_{AC} a_B^2 / a_{AB}^2 a_C^3, \quad (4)$$

где  $a_{AC}$ ,  $a_B$ ,  $a_{AB}$  и  $a_C$  — активность соответствующих компонентов.

Будем считать, что, начиная с некоторой концентрации компонента С, компоненты  $A_2C_3$  и В присутствуют в виде избыточных фаз. Тогда, принимая  $a_{A_2C_3} = a_B = 1$  и считая раствор идеальным, имеем:

$$K = 1/N_{AB}^2 N_C^3, \quad (5)$$

где  $N_{AB}$  и  $N_C$  — молярные (атомные) доли. Если учесть, что  $N_{AB} \approx 1$ , а константа равновесия связана с изобарно-изотермным потенциалом реакций уравнением

$$\Delta G_T^0 = -RT \ln K, \quad (6)$$

то получаем, что

$$\Delta G_T^0 \cong -RT \ln \frac{1}{N_C^3}. \quad (7)$$

Отсюда

$$N_C \cong \exp(\Delta G_T^0 / 3RT). \quad (8)$$

Таким образом, зная величину  $\Delta G_T^0$  для реакции типа (8), можно оценить значение предельной концентрации, начиная с которой соединения типа  $A_2C_3$  будут находиться в виде избыточной фазы.

В табл. 2 представлены результаты такого расчета концентраций примесей серы, селена и теллура в четырех соединениях (GaAs, GaSb, InAs, InSb).

При расчете величин  $\Delta G_T^0$  использовались известные данные по температурной зависимости теплоемкостей элементов и соединений, а также правило аддитивности по Нейману и Кошпа от атомных теплоемкостей элементов.

Так как приведенные на рис. 1 результаты исследований выполнены на монокристаллах арсенида галлия и антимонида индия, выращенных из расплава, целесообразно в уравнении (8) температуру выбрать равной температуре плавления соединения АВ.

Из данных табл. 2 становится ясным, почему в случае легирования соединений  $A^{III}B^V$  серой, селеном и теллуром электрическая активность этих примесей падает в направлении  $Te \rightarrow Se \rightarrow S$ . Это объясняется тем, что химическая прочность соответствующих соединений типа  $A_2C_3$  возрастает в ряду  $Te_2 \rightarrow Se_2 \rightarrow S_2$ . Из этих же представлений можно объяснить отсутствие таких особенностей в поведении акцепторных примесей (Zn, Cd) в соединениях  $A^{III}B^V$ .

Образующиеся при этом соединения цинка и кадмия с мышьяком и сурьмой менее прочные, чем соответствующие соединения  $A^{III}B^V$ , и реакции типа (1), (2) и (3) будут сдвинуты влево на протяжении всей области существования растворов.

Количественные расхождения экспериментальных данных с теоретическими можно объяснить как оценочными значениями термодинамических величин и приближенностью термодинамических методов расчета, так и несоответствием экспериментальных значений, приводимых на рис. 1, состоянию термодинамического равновесия компонентов в твердом растворе полупроводник — примесь. Измерения концентраций атомов и электронов в легированных кристаллах InSb и GaAs проводились на кристаллах, выращенных при относительно больших скоростях кристаллизации и, следовательно, находящихся в термодинамически неравновесных условиях.

Московский институт стали и сплавов

Поступило

Государственный научно-исследовательский и проектный  
институт редкометаллической промышленности

3 III 1970

#### ЦИТИРОВАННАЯ ЛИТЕРАТУРА

- <sup>1</sup> В. И. Фистуль, Сильнолегированные полупроводники, «Наука», М., 1967.
- <sup>2</sup> J. Vieland, J. Kudman, J. Phys. Chem. Solids, 24, 437 (1963). <sup>3</sup> В. И. Фистуль, Э. М. Омельянинский и др., Неорганические материалы, 2, № 4, 657 (1966). <sup>4</sup> М. Я. Дашевский, Л. С. Окуни, Неорганические материалы, 4, № 7, 1182 (1968). <sup>5</sup> M. S. Argahams, C. J. Rioccchi, J. Appl. Phys., 38, 760 (1969). <sup>6</sup> М. Х. Карапетьянц, Основные термодинамические константы неорганических и органических веществ, М., 1968. <sup>7</sup> Полупроводниковые соединения  $A^{III}B^V$ , под ред. Р. Виллардсона и Х. Геринга, М., 1967.

Таблица 2  
Результаты расчета предельных концентраций

Соединение $A^{III}B^V$	Продукты реакций	$N = \exp(\Delta G_T^0 / 3RT)$	$n, \text{ см}^{-3}$
InSb	In <sub>2</sub> S <sub>3</sub>	$7,6 \cdot 10^{-5}$	$1,8 \cdot 10^{18}$
	In <sub>2</sub> Se <sub>3</sub>	$1,2 \cdot 10^{-3}$	$2,9 \cdot 10^{19}$
GaSb	In <sub>2</sub> Te <sub>3</sub>	$1,7 \cdot 10^{-2}$	$4,0 \cdot 10^{20}$
	Ga <sub>2</sub> S <sub>3</sub>	$3,4 \cdot 10^{-8}$	$3,5 \cdot 10^{14}$
InAs	Ga <sub>2</sub> Se <sub>3</sub>	$2,3 \cdot 10^{-6}$	$4,3 \cdot 10^{16}$
	Ga <sub>2</sub> Te <sub>3</sub>	$6,4 \cdot 10^{-4}$	$1,2 \cdot 10^{19}$
GaAs	In <sub>2</sub> S <sub>3</sub>	$4,5 \cdot 10^{-6}$	$8,4 \cdot 10^{17}$
	In <sub>2</sub> Se <sub>3</sub>	$1,0 \cdot 10^{-3}$	$1,9 \cdot 10^{19}$
	In <sub>2</sub> Te <sub>3</sub>	$4,6 \cdot 10^{-2}$	$8,5 \cdot 10^{20}$
	Ga <sub>2</sub> S <sub>3</sub>	$1,3 \cdot 10^{-8}$	$2,2 \cdot 10^{14}$
	Ga <sub>2</sub> Se <sub>3</sub>	$1,2 \cdot 10^{-6}$	$2,0 \cdot 10^{16}$
	Ga <sub>2</sub> Te <sub>3</sub>	$7,8 \cdot 10^{-4}$	$1,2 \cdot 10^{19}$